

Starkniederschlagshöhen und -spenden gemäß KOSTRA-DWD-2010R

Auswertungszeitraum von 1951 - 2010, Januar - Dezember

Rasterfeld: 80041

Zeile: 80

Spalte: 41

Seite: 1/2

| Dauerstufe D | Wiederkehrzeit T | | | | | | | | | | | | | | | | | | |
|--------------|------------------|------|------------|------|------------|------|------------|------|------------|------|------------|------|------------|------|------------|------|------------|-------|------------|
| | 1 a | | 2 a | | 3 a | | 5 a | | 10 a | | 20 a | | 30 a | | 50 a | | 100 a | | |
| min | Std | mm | l / (s ha) | mm | l / (s ha) | mm | l / (s ha) | mm | l / (s ha) | mm | l / (s ha) | mm | l / (s ha) | mm | l / (s ha) | mm | l / (s ha) | mm | l / (s ha) |
| 5 | | 5,2 | 173,3 | 7,4 | 246,7 | 8,7 | 290,0 | 10,3 | 343,3 | 12,4 | 413,3 | 14,6 | 486,7 | 15,9 | 530,0 | 17,5 | 583,3 | 19,7 | 656,7 |
| 10 | | 8,2 | 136,7 | 11,1 | 185,0 | 12,7 | 211,7 | 14,8 | 246,7 | 17,6 | 293,3 | 20,5 | 341,7 | 22,1 | 368,3 | 24,2 | 403,3 | 27,0 | 450,0 |
| 15 | | 10,2 | 113,3 | 13,5 | 150,0 | 15,4 | 171,1 | 17,9 | 198,9 | 21,2 | 235,6 | 24,4 | 271,1 | 26,4 | 293,3 | 28,8 | 320,0 | 32,1 | 356,7 |
| 20 | | 11,6 | 96,7 | 15,3 | 127,5 | 17,4 | 145,0 | 20,1 | 167,5 | 23,8 | 198,3 | 27,5 | 229,2 | 29,6 | 246,7 | 32,3 | 269,2 | 36,0 | 300,0 |
| 30 | | 13,4 | 74,4 | 17,7 | 98,3 | 20,2 | 112,2 | 23,4 | 130,0 | 27,6 | 153,3 | 31,9 | 177,2 | 34,4 | 191,1 | 37,6 | 208,9 | 41,9 | 232,8 |
| 45 | | 15,0 | 55,6 | 20,0 | 74,1 | 22,9 | 84,8 | 26,6 | 98,5 | 31,6 | 117,0 | 36,6 | 135,6 | 39,5 | 146,3 | 43,2 | 160,0 | 48,2 | 178,5 |
| 60 | | 15,9 | 44,2 | 21,5 | 59,7 | 24,7 | 68,6 | 28,8 | 80,0 | 34,4 | 95,6 | 40,0 | 111,1 | 43,2 | 120,0 | 47,3 | 131,4 | 52,9 | 146,9 |
| 90 | | 17,4 | 32,2 | 23,1 | 42,8 | 26,4 | 48,9 | 30,6 | 56,7 | 36,3 | 67,2 | 41,9 | 77,6 | 45,2 | 83,7 | 49,4 | 91,5 | 55,1 | 102,0 |
| 120 | 2 | 18,6 | 25,8 | 24,3 | 33,8 | 27,7 | 38,5 | 31,9 | 44,3 | 37,7 | 52,4 | 43,4 | 60,3 | 46,8 | 65,0 | 51,0 | 70,8 | 56,7 | 78,8 |
| 180 | 3 | 20,4 | 18,9 | 26,2 | 24,3 | 29,6 | 27,4 | 33,9 | 31,4 | 39,8 | 36,9 | 45,6 | 42,2 | 49,0 | 45,4 | 53,4 | 49,4 | 59,2 | 54,8 |
| 240 | 4 | 21,7 | 15,1 | 27,7 | 19,2 | 31,1 | 21,6 | 35,5 | 24,7 | 41,4 | 28,8 | 47,3 | 32,8 | 50,8 | 35,3 | 55,1 | 38,3 | 61,1 | 42,4 |
| 360 | 6 | 23,8 | 11,0 | 29,9 | 13,8 | 33,4 | 15,5 | 37,8 | 17,5 | 43,8 | 20,3 | 49,9 | 23,1 | 53,4 | 24,7 | 57,8 | 26,8 | 63,8 | 29,5 |
| 540 | 9 | 26,1 | 8,1 | 32,2 | 9,9 | 35,8 | 11,0 | 40,4 | 12,5 | 46,5 | 14,4 | 52,6 | 16,2 | 56,2 | 17,3 | 60,7 | 18,7 | 66,8 | 20,6 |
| 720 | 12 | 27,9 | 6,5 | 34,1 | 7,9 | 37,7 | 8,7 | 42,3 | 9,8 | 48,5 | 11,2 | 54,7 | 12,7 | 58,3 | 13,5 | 62,9 | 14,6 | 69,1 | 16,0 |
| 1080 | 18 | 30,5 | 4,7 | 36,9 | 5,7 | 40,6 | 6,3 | 45,2 | 7,0 | 51,5 | 7,9 | 57,9 | 8,9 | 61,5 | 9,5 | 66,2 | 10,2 | 72,5 | 11,2 |
| 1440 | 24 | 32,6 | 3,8 | 39,0 | 4,5 | 42,7 | 4,9 | 47,5 | 5,5 | 53,8 | 6,2 | 60,2 | 7,0 | 64,0 | 7,4 | 68,7 | 8,0 | 75,1 | 8,7 |
| 2880 | 48 | 40,0 | 2,3 | 47,8 | 2,8 | 52,3 | 3,0 | 58,0 | 3,4 | 65,7 | 3,8 | 73,5 | 4,3 | 78,0 | 4,5 | 83,7 | 4,8 | 91,5 | 5,3 |
| 4320 | 72 | 45,1 | 1,7 | 53,6 | 2,1 | 58,6 | 2,3 | 64,9 | 2,5 | 73,4 | 2,8 | 82,0 | 3,2 | 87,0 | 3,4 | 93,3 | 3,6 | 101,8 | 3,9 |

Angaben in mm: Bemessungsniederschlagswerte h(n)

Angaben in l / (s ha): Regenspende R(n) mit $R(n) = h(n) \times 1,666667 / D[\text{min}]$

Toleranzbereiche:

+/- 10 % für $1 \text{ a} \leq T \leq 5 \text{ a}$

+/- 15 % für $5 \text{ a} < T \leq 50 \text{ a}$

+/- 20 % für $50 \text{ a} < T \leq 100 \text{ a}$

Datenbasis: KOSTRA-DWD-2010R des Deutschen Wetterdienstes. Die Regenspende wurde auf Basis des Bemessungsniederschlags zur jeweiligen Andauer berechnet.

Für die Richtigkeit und Aktualität der Angaben wird keine Gewähr übernommen. Erstellt 07/2022.

Starkniederschlagshöhen und -spenden gemäß KOSTRA-DWD-2010R

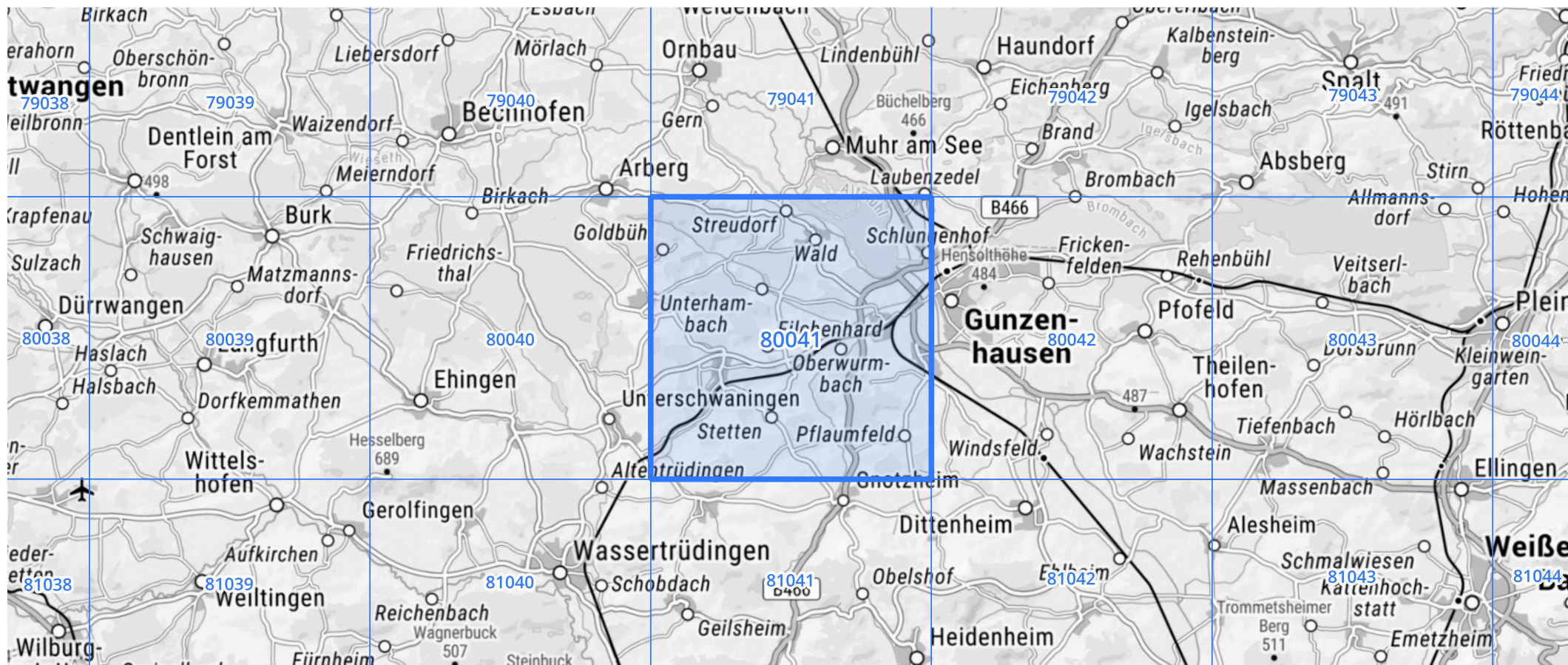
Auswertungszeitraum von 1951 - 2010, Januar - Dezember

Rasterfeld: 80041

Zeile: 80

Spalte: 41

Seite: 2/2



Quelle Rasterdaten: KOSTRA-DWD-2010R des Deutschen Wetterdienstes.

Kartendarstellung: © Bundesamt für Kartographie und Geodäsie (2022), Datenquellen: https://sgx.geodatenzentrum.de/web_public/gdz/datenquellen/Datenquellen_TopPlusOpen.html

Für die Richtigkeit und Aktualität der Angaben wird keine Gewähr übernommen. Erstellt 07/2022.